

## Семинар 6

*Мультистационарные системы. Триггер. Силовое и параметрическое переключение триггера. Конкуренция. Отбор одного из двух равноправных видов. Генетический триггер Жакоба и Моно.*

**Мультистационарная система** — система, имеющая несколько стационарных состояний.

**Триггерная система** — система, имеющая два или более устойчивых стационарных состояния, между которыми возможен переход. Слово *триггер* означает *переключатель*.

Как в терминах кинетической модели можно переключить триггер из одного устойчивого стационарного состояния в другое?

**Силовой способ переключения триггера (специфический)** — переход системы из области действия одного аттрактора в область действия другого за счёт действия внешних сил на *переменные* системы.

**Параметрический способ переключения триггера (неспецифический)** — *параметры* системы изменяются таким образом, что в фазовом портрете системы остаётся только одна особая точка, в которую эта система и переходит.

**Бифуркация** — изменение фазового портрета системы, количества предельных множеств (точек, циклов и т.д.) и их устойчивости.

**Точка бифуркации (критическая точка)** — значение параметров системы, при которых она меняет своё поведение.

## МОДЕЛЬ КОНКУРЕНЦИИ ВИДОВ

Уравнения конкуренции имеют следующий вид:

$$\begin{cases} \frac{dx_1}{dt} = x_1(a_1 - b_{12}x_2 - c_1x_1), \\ \frac{dx_2}{dt} = x_2(a_2 - b_{21}x_1 - c_2x_2). \end{cases} \quad (6.1)$$

Здесь параметры  $a_i$  — константы собственной скорости роста каждого из видов,  $b_{ij}$  — константы взаимодействия видов (межвидовой конкуренции),  $c_i$  — константы самоограничения численности (внутривидовой конкуренции) ( $i, j = 1, 2$ ).

Введем безразмерные переменные:  $x = \frac{c_1}{a_1}x_1$ ,  $y = \frac{c_2}{a_1}x_2$ ,  $\tau = a_1t$ .

Заменой переменных система приводится к виду:

$$\begin{cases} \frac{dx}{d\tau} = x(1 - b_1y - x), \\ \frac{dy}{d\tau} = y(a - b_2x - y), \end{cases} \quad (6.2)$$

где  $a = \frac{a_2}{a_1}$ ,  $b_1 = \frac{b_{12}}{c_2}$ ,  $b_2 = \frac{b_{21}}{c_1}$ .

Коэффициент  $a = \frac{a_2}{a_1}$  показывает, во сколько раз рождаемость особей вида  $y$  выше (ниже) рождаемости особей вида  $x$ . Коэффициент  $b_1 = \frac{b_{12}}{c_2}$  показывает, что ограничение роста вида  $x$  может происходить либо за счет усиления межвидовой конкуренции, либо за счет ослабления внутривидовой конкуренции вида  $y$ .

Другими словами, численность вида  $x$  может увеличиться (уменьшиться) за счет того, что особи вида  $y$  начинают в большей

(меньшей) степени истреблять друг друга и в меньшей (большей) степени конкурировать с особями вида  $x$ . Аналогично, коэффициент  $b_2 = \frac{b_{21}}{c_1}$  показывает, что ограничение роста вида  $y$  может

происходить либо за счет усиления межвидовой конкуренции, либо за счет ослабления внутривидовой конкуренции вида  $x$ .

Будем рассматривать модель при одинаковых коэффициентах внутри- и межвидовой конкуренции,  $c_1 = c_2$  и  $b_{12} = b_{21}$  (все возможные типы поведения системы при этом сохраняются). Тогда  $b_1 = b_2 = b$ . При  $b < 1$  для обоих видов внутривидовая конкуренция преобладает над межвидовой конкуренцией, при  $b > 1$ , наоборот, межвидовая конкуренция преобладает над внутривидовой конкуренцией. Модель принимает вид:

$$\begin{cases} x' = x(1 - by - x), \\ y' = y(a - bx - y). \end{cases}$$

Проведем исследование полученной системы.

Найдем стационарные состояния:

I	II	III	IV
$\bar{x}_1 = 0,$ $\bar{y}_1 = 0.$	$\bar{x}_2 = 0,$ $\bar{y}_2 = a.$	$\bar{x}_3 = 1,$ $\bar{y}_3 = 0.$	$\bar{x}_4 = \frac{1-ab}{1-b^2},$ $\bar{y}_4 = \frac{a-b}{1-b^2}.$

Определим коэффициенты линеаризации:

$$P'_x(\bar{x}, \bar{y}) = a - b\bar{y} - 2\bar{x},$$

$$P'_y(\bar{x}, \bar{y}) = -b\bar{x},$$

$$Q'_x(\bar{x}, \bar{y}) = -b\bar{y},$$

$$Q'_y(\bar{x}, \bar{y}) = a - b\bar{x} - 2\bar{y}.$$

Корни характеристического уравнения, рассчитанные для каждого стационарного состояния:

I	II	III	IV
$\lambda_1 = 1,$ $\lambda_2 = a.$	$\lambda_1 = 1 - ab,$ $\lambda_2 = -a.$	$\lambda_1 = a - b,$ $\lambda_2 = -1.$	$\lambda_1 = -\frac{a+1}{b+1} - \sqrt{\left(\frac{a+1}{b+1}\right)^2 - 4\frac{(1-ab)(a-b)}{1-b^2}},$ $\lambda_2 = -\frac{a+1}{b+1} + \sqrt{\left(\frac{a+1}{b+1}\right)^2 - 4\frac{(1-ab)(a-b)}{1-b^2}}.$

Проведем исследование влияния соотношения скоростей роста (параметр  $a$ ) на реализацию различных режимов в системе:

- 1) при преобладании внутривидовой конкуренции над межвидовой ( $b < 1$ );
- 2) при преобладании межвидовой конкуренции над внутривидовой ( $b > 1$ ).

Положения стационарных состояний определяются пересечением главных изоклин (каждой вертикальной с каждой горизонтальной).

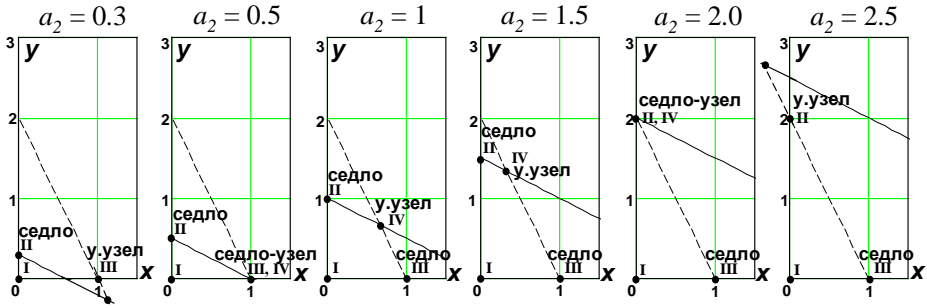
Изоклины горизонтальных касательных:  $y = 0,$   $y = a - bx$ .  
Уравнение  $y = a - bx$  зависит от параметра  $a$ , и при его изменении прямая  $y = a - bx$  будет сдвигаться параллельно самой себе.

Изоклины вертикальных касательных:  $x = 0,$   $y = \frac{1-x}{b}$ .

Уравнение  $y = \frac{1-x}{b}$  не зависит от параметра  $a$ , поэтому при его изменении прямая  $y = \frac{1-x}{b}$  не будет менять свое положение.

Итак, изменение параметра  $a$  (соотношение скоростей роста) будет приводить к изменению положений стационарных состояний и их типов.

1) Внутривидовая конкуренция превышает межвидовую,  $b < 1$ .



**Рис. 6.1.** Изменение положений стационарных состояний при изменении параметра  $a$  (пояснение в тексте).  $b = 0.5$ .  
 Изоклины горизонтальных касательных — пунктирные линии.  
 Изоклины вертикальных касательных — сплошные линии.

Рассмотрим ситуацию, когда изначально скорость роста вида  $y$  меньше скорости роста вида  $x$  ( $a = 0.3$ ). При этих условиях, независимо от начальных значений численности каждого из видов, выживает только вид  $x$ .

При увеличении скорости роста вида  $y$  ( $a = 0.5$ ) возникает переходный режим, после которого создаются благоприятные условия для выживания вида  $y$ .

При дальнейшем увеличении скорости роста вида  $y$  оба вида сосуществуют, но стационарная численность вида  $x$  при этом выше. Такая ситуация сохраняется до тех пор, пока скорости роста обоих видов не станут равными ( $a = 1$ ). В этом случае стационарная численность обоих видов одинакова.

Далее при увеличении скорости роста вида  $y$  его стационарная численность начинает превышать стационарную численность вида  $x$ . При достижении следующего бифуркационного значения ( $a = 2$ ) возникает переходный режим, при котором создаются условия, когда выживает только вид  $y$ .

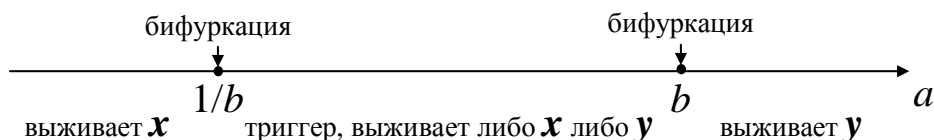


( $a = 1$ ). В этом случае выживет тот вид, начальная численность которого была выше.

Далее при увеличении скорости роста вида  $y$  последний получает преимущество для выживания. При достижении следующего бифуркационного значения ( $a = 2$ ) возникает переходный режим, при котором создаются неблагоприятные условия для выживания вида  $x$ .

При дальнейшем увеличении скорости роста вида  $y$  ( $a = 2.5$ ) выживает только вид  $y$ , независимо от начальных значений численности каждого из видов.

Рассмотренные переходы при  $b > 1$  также можно представить обобщенно в виде параметрической диаграммы:



### ЗАДАНИЕ 6.1.

*Определение бассейнов устойчивости стационарных состояний.*

В программе решения ОДУ постройте фазовый портрет системы при значениях параметров  $a = 1.5$ ,  $b = 2$ .

(Масштаб переменных:  $x_{min} = 0$ ,  $x_{max} = 2$ ,  $y_{min} = 0$ ,  $y_{max} = 1.5$ ,  $t_{min} = 0$ ,  $t_{max} = 40$ .)

Зарисуйте фазовый портрет, отмечая стационарные состояния и тип устойчивости. Постройте сепаратрисы седла. Какая из сепаратрис является линией раздела влияния каждого из устойчивых стационарных состояний? Определите области устойчивости каждого из устойчивых стационарных состояний. У какого из видов бассейн притяжения больше и почему?

### ЗАДАНИЕ 6.2.

*Силовое переключение триггера в модели конкуренции видов.*

В программе решения ОДУ постройте кинетические кривые  $x(t)$  и  $y(t)$  при значениях параметров:  $a = 1, b = 2$ .

(Масштаб переменных:  $x_{min} = 0, x_{max} = 1.5, y_{min} = 0, y_{max} = 1.5, t_{min} = 0, t_{max} = 40$ .)

Меняя начальную численность одного из видов, определите, при какой численности происходит переключение в другое стационарное состояние. Зарисуйте кинетические кривые, характеризующее переключение.

### ГЕНЕТИЧЕСКИЙ ТРИГГЕР ЖАКОБА И МОНО

Схема взаимной регуляции двух систем синтеза ферментов изображена на рис. 6.3. Ген-регулятор каждой системы синтезирует неактивный репрессор. Этот репрессор, соединяясь с продуктом второй системы, образует активный комплекс, который обратимо реагирует с участком структурного гена (опероном), блокирует синтез мРНК.

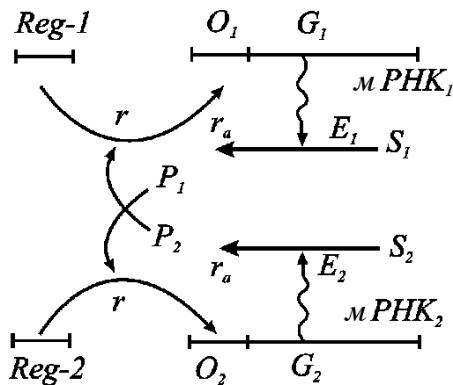


Рис. 6.3. Схема синтеза двух ферментов по Жакобу и Моно.



Таким образом, продукт первой системы  $P_1$  является корепрессором второй системы, а продукт второй системы  $P_2$  — корепрессором первой. При этом в процессе корепрессии могут принимать участие одна, две и более молекул продукта.

Подобный характер взаимодействий приводит к блокировке второй системы при интенсивной работе первой, и наоборот.

Простейшая система уравнений, описывающая такой тип взаимодействий, имеет вид:

$$\begin{cases} \frac{dP_1}{dt} = \frac{A_1}{B_1 + P_2^m} - q_1 P_1, \\ \frac{dP_2}{dt} = \frac{A_2}{B_2 + P_1^m} - q_2 P_2. \end{cases} \quad (6.3)$$

Здесь  $P_1, P_2$  — концентрации продуктов, величины  $A_1, A_2, B_1, B_2$  — параметры, отражающие скорость накопления каждого из продуктов,  $q_1, q_2$  — константы скорости оттока продуктов из сферы реакции. Показатель степени  $m$  указывает, сколько молекул активного репрессора (соединений молекул продукта с молекулами неактивного репрессора, который предполагается в избытке) соединяются с опероном для блокировки синтеза мРНК.

Для упрощения исследования предположим, что  $q_1 = q_2 = q$ . Введем безразмерные переменные:

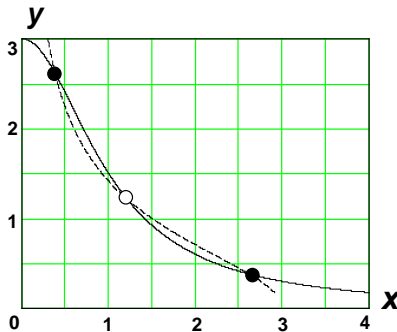
$$x = \frac{P_1}{B_2^{1/m}}, y = \frac{P_2}{B_1^{1/m}}, L_1 = \frac{A_1}{qB_1B_2^{1/m}}, L_2 = \frac{A_2}{qB_1B_2^{1/m}}, t' = qt.$$

Опустив штрих у времени, перепишем систему в безразмерном виде:

$$\begin{cases} \frac{dx}{dt} = \frac{L_1}{1 + y^m} - x, \\ \frac{dy}{dt} = \frac{L_2}{1 + x^m} - y. \end{cases} \quad (6.4)$$

Проведем исследование полученной безразмерной системы для следующих значений параметров:  $L_1 = 3$ ,  $L_2 = 3$ ,  $m = 2$  и положительных значений переменных. Поскольку поиск стационарных состояний сводится к решению кубического уравнения, аналитическое решение которого затруднено, будем исследовать модель численно, с помощью математических пакетов. Построим главные изоклины системы.

Изоклина горизонтальных касательных:  $y = \frac{L_2}{1+x^2}$  (сплошная кривая на рис. 6.4). Изоклина вертикальных касательных:  $y = \sqrt{\frac{L_1}{x}} - 1$  (пунктирная кривая на рис. 6.4). Главные изоклины могут пересекаться в 3-х точках, следовательно, в положительной области могут существовать три стационарных состояния.



**Рис. 6.4.** Нуль-изоклины системы (6.4).  $L_1 = 3$ ,  $L_2 = 3$ ,  $m = 2$ . Изоклина горизонтальных касательных — сплошная кривая. Изоклина вертикальных касательных — пунктирная кривая.

### ЗАДАНИЕ 6.3.

Постройте фазовый портрет системы в программе для решения ОДУ и зарисуйте.

(Масштаб осей:  $x_{min} = 0$ ,  $x_{max} = 4$ ,  $y_{min} = 0$ ,  $y_{max} = 3$ .)

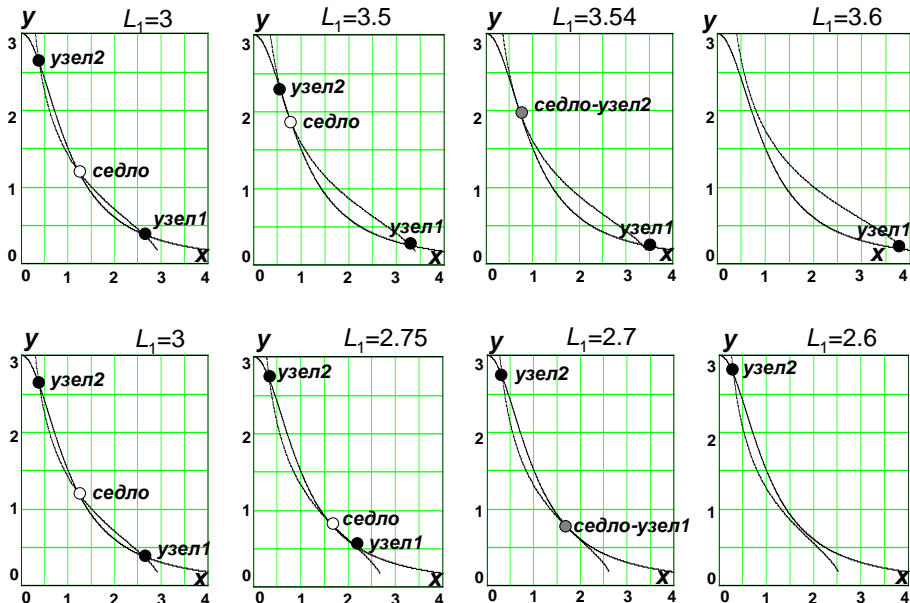
Укажите на фазовом портрете типы устойчивости стационарных точек.

Итак, исследуемая система является триггером. Рассмотрим, в чем состоит *параметрическое переключение* триггера.

Исследуем, как меняется фазовый портрет при изменении параметра  $L_1$  (скорость наработки первого продукта).

Изоклина горизонтальных касательных  $y = \frac{L_2}{1+x^2}$  (сплошные кривые на рис. 6.5) не зависит от параметра  $L_1$ , ее положение на фазовой плоскости меняться не будет.

Изоклина вертикальных касательных  $y = \sqrt{\frac{L_1}{x}} - 1$  (пунктирные кривые на рис. 6.5) при изменении параметра  $L_1$  будет менять свое положение относительно положения изоклины горизонтальных касательных.



**Рис. 6.5.** Изменение взаимного расположения главных изоклин модели при изменении  $L_1$ .  $L_2 = 3$ ,  $m = 2$ .

Как видно на рис. 6.5 при изменении параметра  $L_1$  (скорости наработки первого продукта  $P_1$ ) происходит изменение числа стационарных состояний.

Исходно при  $L_1 = 3$  в зависимости от начальных условий реализуется одно из двух устойчивых состояний: либо устойчивый узел<sub>1</sub> с преобладанием продукта  $P_1$  (переменная  $x$ ), либо устойчивый узел<sub>2</sub> с преобладанием продукта  $P_2$  (переменная  $y$ ).

При увеличении  $L_1$  от 3 до 3.6 происходит постепенное сближение устойчивого узла<sub>2</sub> и седла, которые затем сливаются и исчезают (бифуркация). Остается одно устойчивое состояние, устойчивый узел<sub>1</sub>, преобладание продукта  $P_1$ .

При уменьшении  $L_1$  от 3 до 2.6 происходит постепенное сближение устойчивого узла<sub>1</sub> и седла, которые, как и в предыдущем случае, затем сливаются и исчезают (бифуркация). Остается одно устойчивое состояние, устойчивый узел<sub>2</sub>, преобладание продукта  $P_2$ .

Таким образом, в модели Жакобо и Моно может происходить *параметрическое переключение* как при увеличении параметра  $L_1$  (скорости наработки первого продукта  $P_1$ ), так и при его уменьшении. Такие же события будут происходить и при изменении параметра  $L_2$  (скорости наработки второго продукта  $P_2$ ). Это означает, что изменяя параметры скоростей наработки продуктов  $P_1$  и  $P_2$  (например, меняя рН среды), можно регулировать генетический контроль работы первого или второго фермента. В данном случае регуляция происходит путем *параметрического переключения* триггера.

#### **ЗАДАНИЕ 6.4.**

Постройте кинетические кривые  $x(t)$  и  $y(t)$  вблизи стационарного состояния узел<sub>1</sub>, задавая начальные значения  $x_0 = 2.5$ ,  $y_0 = 0.5$  при значениях параметров:  $L_1 = 3$ ,  $L_2 = 3$ ,  $m = 2$ . (Масштаб переменных:  $x_{min} = 0$ ,  $x_{max} = 4$ ,  $y_{min} = 0$ ,  $y_{max} = 4$ ,  $t_{min} = 0$ ,  $t_{max} = 500$ .)

**6.4.1. Параметрическое переключение триггера в модели Жакоба и Моно.**

Исследуйте, как будет меняться ход кривых при уменьшении скорости наработки первого продукта  $L_1$ . Не меняя начальные значения, постройте кинетические кривые  $x(t)$  и  $y(t)$  при следующих значениях параметра  $L_1$ : 3, 2.71, 2.7, 2.69, 2.6. Определите, при каком значении  $L_1$  начинается переключение из состояния узел<sub>1</sub> в состояние узел<sub>2</sub> (бифуркационное значение  $L_1$ ). Зарисуйте кинетические кривые, характеризующее переключение. Как зависит время переключения от близости параметра  $L_1$  к его бифуркационному значению?

**6.4.2. Силовое переключение триггера в модели Жакоба и Моно.**

Исследуйте, как будет меняться ход кривых при изменении начальных условий. Не меняя параметры модели, постройте кинетические кривые  $x(t)$  и  $y(t)$  при следующих начальных значениях первого продукта:  $x_0 = 2.5, 1, 0.11, 0.09, 0.05$ . Определите то начальное значение  $x_0$ , которое разделяет области влияния двух устойчивых состояний.

## ПОСТРОЕНИЕ ФАЗОПАРАМЕТРИЧЕСКИХ ДИАГРАММ

Построим фазопараметрические диаграммы  $\bar{x}(L_1)$  и  $\bar{y}(L_1)$  системы (6.4) и исследуем зависимость числа стационарных состояний и их положения от параметра  $L_1$ .

Определим координаты стационарных точек  $\bar{x}$  и  $\bar{y}$  по рисунку 6.5. для разных значений параметра  $L_1$ .

При  $L_1 = 2.6$  — одна стационарная точка, устойчивый узел<sub>2</sub>. Определяем координату  $\bar{x}$  и откладываем ее значение на плоскости  $\bar{x}(L_1)$ , рис. 6.6 а.

При  $L_1 = 2.7$  — две стационарные точки, узел<sub>2</sub> и седло-узел<sub>2</sub>. Определяем значения  $\bar{x}$  для этих точек и откладываем в координатах  $\bar{x}(L_1)$ .

При  $L_1 = 3$  — три стационарные точки, узел<sub>2</sub>, седло и узел<sub>1</sub>. Определяем значения  $\bar{x}$  для этих точек и откладываем на плоскости  $\bar{x}(L_1)$ .

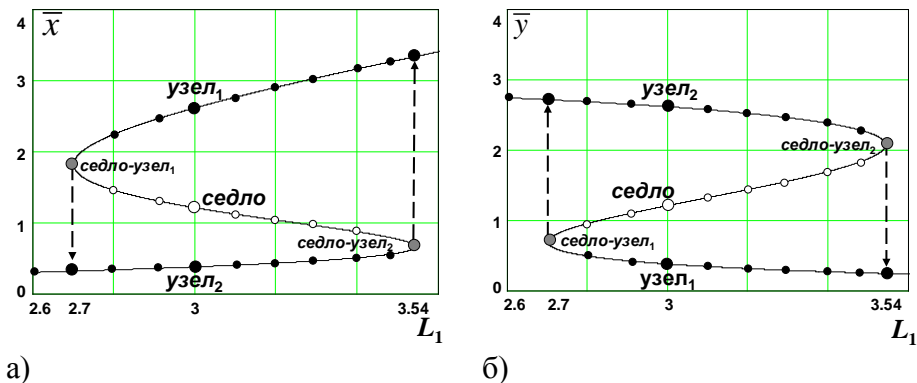


Рис. 6.6. Фазопараметрические диаграммы системы (6.4).  $L_2 = 3$ ,  $m = 2$ .

Аналогичным образом определяем число и координаты  $\bar{x}$  для других значений  $L_1$  и соединяем их одной линией, как показано на рис. 6.6 а.

Фазопараметрическая диаграмма  $\bar{y}(L_1)$  строится аналогично (рис. 6.6 б).

Такое явление, когда наблюдается неоднозначная зависимость числа состояний системы от параметров, определяемых внешними условиями, называется *гистерезисом*. Полученные фазопараметрические диаграммы называются *гистерезисными кривыми*.

Проанализируем полученные гистерезисные кривые. Рассмотрим ситуацию, когда система изначально находится в состоянии узел<sub>2</sub> ( $L_1 = 2.6$ ). Увеличивая  $L_1$ , мы остаемся в состоянии узел<sub>2</sub> (нижняя ветка кривой для  $\bar{x}$  и верхняя ветка для  $\bar{y}$ ), которое при этом незначительно меняет свое положение на фазовой плоскости, пока не достигнем верхнего бифуркационного значения  $L_1 = 3.54$  (состояния седло-узел<sub>2</sub>). Далее система скачком переходит в со-

стояние узел<sub>1</sub> (пунктирная стрелка вверх для  $\bar{x}$ , пунктирная стрелка вниз для  $\bar{y}$ ) и продолжает в нем существовать при увеличении параметра  $L_1$ .

Если теперь мы будем уменьшать параметр  $L_1$ , система будет двигаться по другому пути. До тех пор, пока параметр  $L_1$  не примет значение  $L_1 = 2.7$  (нижнее бифуркационное значение), система будет оставаться в состоянии узел<sub>1</sub> (верхняя ветка кривой для  $\bar{x}$  и нижняя ветка для  $\bar{y}$ ). Нижнее бифуркационное значение  $L_1 = 2.7$  соответствует состоянию седло-узел<sub>1</sub> на рисунке 6.6. Далее система опять скачком перейдет в состояние узел<sub>2</sub> (пунктирная стрелка вниз для  $\bar{x}$ , пунктирная стрелка вверх для  $\bar{y}$ ) и продолжит в нем существовать при уменьшении параметра  $L_1$ .

Таким образом, система как бы «помнит» свой путь в зависимости от уменьшения или увеличения управляющего параметра  $L_1$ . Это одно из основных свойств *гистерезиса*, поэтому *гистерезисная кривая* во многих моделях трактуется как элемент памяти.

## КОНТРОЛЬНЫЕ ВОПРОСЫ

1. Сколько стационарных состояний существует в модели конкуренции видов?
2. Как определить области притяжения устойчивых состояний?
3. При каком соотношении коэффициентов внутривидовой и межвидовой конкуренции оба вида могут устойчиво сосуществовать?
4. При каком соотношении коэффициентов внутривидовой и межвидовой конкуренции реализуется триггер?
5. Сколько и какие стационарные состояния реализуются в модели Жакоба и Моно?
6. Какими способами можно регулировать преобладание одного из продуктов в модели Жакоба и Моно?
7. В чем отличие силового и параметрического способов переключения триггера?
8. Как меняется фазовый портрет при параметрическом и силовом переключении триггера?

## ЗАДАЧИ К СЕМИНАРУ 6

**6.1.** Модель симбиоза двух видов в безразмерных переменных может быть описана системой уравнений:

$$\begin{cases} \frac{dx}{dt} = x(1 + by - x), \\ \frac{dy}{dt} = y(1 + bx - y). \end{cases}$$

Здесь коэффициент  $b$  определяет взаимодействие двух видов, ускоряющее рост каждого из них.

Найдите координаты особых точек. Определите тип каждого из найденных стационарных состояний в зависимости от  $b$  (рассмотрите при  $b \neq 1$ ).

Постройте фазовые портреты системы при  $b = 2$ :

- а) постройте главные изоклины системы;
- б) отметьте стационарные точки на фазовой плоскости;
- в) постройте фазовые траектории и стрелками укажите их направление для каждого фазового портрета.

**6.2.** Модель хищник-жертва в безразмерных переменных может быть описана системой уравнений:

$$\begin{cases} \frac{dx}{dt} = x(1 - by - x), \\ \frac{dy}{dt} = y(1 + bx - y). \end{cases}$$

Здесь коэффициент  $b$  определяет скорость поедания жертв хищником.

Найдите координаты особых точек. Определите тип каждого из найденных стационарных состояний в зависимости от  $b$  (рассмотрите при  $b \neq 1$ ).



Постройте фазовые портреты системы при  $b = 2$  и при  $b = 0.5$ :

- а) постройте главные изоклины системы;
- б) отметьте стационарные точки на фазовой плоскости;
- в) постройте, где необходимо, сепаратрисы, укажите области (выше или ниже сепаратрис) притяжения устойчивых состояний;
- г) постройте фазовые траектории и стрелками укажите их направление для каждого фазового портрета.

**6.3.** Постройте фазопараметрические диаграммы (гистерезисные кривые) для модели Жакоба и Моно при значениях параметров  $L_2 = 4$ ,  $m = 2$  для  $3 < L_1 < 6$  (используйте любую программу для вычисления стационарных значений переменных при разных значениях параметра  $L_1$ ).

На полученных кривых пунктирными стрелками укажите переходы между устойчивыми состояниями, происходящие в результате бифуркаций.

Определите бифуркационные значения параметра  $L_1$ .